

## Об условиях замыкания траектории в трехмерном пространстве

(Представлено академиком НАН Украины А. А. Мартынюком)

Приводятся условия существования замкнутой траектории в системе, заданной в трехмерном пространстве. Рассмотрена консервативная система.

Рассматривается неустойчивость вращений твердого тела, которая устанавливается с помощью теоремы о неустойчивости Четаева ([1], с. 27–32). К примеру, который рассмотрен Четаевым, добавляются сведения о замкнутости траектории. Рассмотрены симметрия и бифуркация в трехмерном пространстве, которые определяют сигнатуру спектра характеристических показателей Ляпунова (ХПЛ) для рассматриваемой системы.

В качестве исходных результатов, необходимых для доказательства симметрии трехмерной траектории, приведем некоторые сведения о принципе симметрии [2].

Запишем двумерную систему в следующем виде:

$$\frac{dx_1}{dt} = F_1(x), \quad \frac{dx_2}{dt} = F_2(x), \quad (1)$$

где  $x_1, x_2 \in \mathbb{R}$  и  $F_1 \in C(\mathbb{R}^2, \mathbb{R})$ ,  $F_2 \in C(\mathbb{R}^2, \mathbb{R})$ , и  $F_i(0, 0) = 0$  ( $i = 1, 2$ ). Геометрический принцип симметрии, на основе которого можно установить условия замыкания фазовой траектории, формулируется так: в системе (1) существует симметрия траектории, если выполняются условия четности функции  $F_1(x)$  относительно  $x_1$  и нечетности функции  $F_2(x)$  относительно  $x_1$ , т. е.

$$F_1(-x_1, x_2) = F_1(x_1, x_2), \quad F_2(-x_1, x_2) = -F_2(x_1, x_2). \quad (2)$$

Это утверждение основано на том, что на плоскости  $Ox_1x_2$  ось  $Ox_2$  является осью симметрии, и всякая интегральная кривая слева от оси  $x_2$  является зеркальным отображением кривой справа.

На основе принципа симметрии можно заключить, что в системе (1) существует симметрия траектории, если выполняются условия четности функции  $F_2(x)$  относительно  $x_2$  и нечетности  $F_1(x)$  относительно  $x_2$ , т. е.

$$F_2(x_1, -x_2) = F_2(x_1, x_2), \quad F_1(x_1, -x_2) = -F_1(x_1, x_2). \quad (3)$$

Достаточно предположить, что интегральная кривая, начинаясь на оси  $x_1$ , при дальнейшем продолжении вновь приходит на ось  $x_1$ . Здесь ось  $Ox_1$  является осью симметрии.

**Движение твердого тела (случай Эйлера.)** Теорема о неустойчивости Четаева [1] применима к задаче о неустойчивости вращения твердого тела вокруг средней оси эллипсоида инерции. Уравнения движения в этом случае имеют вид

$$J_x \frac{d\omega_x}{dt} = (J_y - J_z)\omega_y\omega_z, \quad J_y \frac{d\omega_y}{dt} = (J_z - J_x)\omega_x\omega_z, \quad J_z \frac{d\omega_z}{dt} = (J_x - J_y)\omega_x\omega_y. \quad (4)$$

Для эллипсоида инерции механической системы (4) в случае неустойчивости верны неравенства [1]

$$J_x < J_z < J_y. \quad (5)$$

В случае Эйлера оси координат являются главными центральными осями инерции, и уравнения (4) суть дифференциальные уравнения относительно проекций вектора угловой скорости  $\omega$ . Учитывая неравенство (5) и полагая, что  $J_x = J$ ,  $J_z = 2J$ ,  $J_y = 3J$ , запишем систему (4) в виде

$$\frac{du}{dt} = vw, \quad \frac{dv}{dt} = \frac{1}{3}uw, \quad \frac{dw}{dt} = -uv, \quad (6)$$

где  $u = \omega_x$ ,  $v = \omega_y$ ,  $w = \omega_z$ . В уравнениях (6) существует следующая совокупность изолированных особых точек:

$$u \neq 0, \quad v = 0, \quad w = 0; \quad v \neq 0, \quad u = 0, \quad w = 0; \quad w \neq 0, \quad u = 0, \quad v = 0. \quad (7)$$

Для возмущенного движения системы (6) необходимо, чтобы начальное возмущение было, по крайней мере, по двум координатам. Тогда изображающая точка не останется в изолированных особых точках (7). Доказательство неустойчивости системы (6), связанной с неравенством (5), приводится в [1, с. 27] на основе теоремы Четаева.

О существовании в системе (6) замкнутой траектории. Обозначим начальные условия в системе (6): при  $t = 0$ :  $u(0) = u_0$ ,  $v(0) = v_0$ ,  $w(0) = w_0$ .

Введем безразмерные величины  $\bar{u}$ ,  $\bar{v}$ ,  $\bar{w}$ ,  $\bar{t}$  следующим образом:  $\bar{u} = u/v_0$ ,  $\bar{v} = v/v_0$ ,  $\bar{w} = w/v_0$ ,  $\bar{t} = tv_0$ . Рассмотрим следующие системы: систему из первого и второго уравнений системы (6), которая отображает движение на плоскости  $uv$

$$\frac{d\bar{u}}{d\bar{t}} = \bar{v}\bar{w}, \quad \frac{d\bar{v}}{d\bar{t}} = \frac{1}{3}\bar{u}\bar{w}; \quad (8)$$

систему из второго и третьего уравнений системы (6), которая отображает движение на плоскости  $vw$

$$\frac{d\bar{v}}{d\bar{t}} = \frac{1}{3}\bar{u}\bar{w}, \quad \frac{d\bar{w}}{d\bar{t}} = -\bar{u}\bar{v}; \quad (9)$$

систему из первого и третьего уравнений системы (6)

$$\frac{d\bar{u}}{d\bar{t}} = \bar{v}\bar{w}, \quad \frac{d\bar{w}}{d\bar{t}} = -\bar{u}\bar{v}. \quad (10)$$

Согласно физическому аспекту задачи Эйлера, изображающая точка движется по поверхности. На основании первого интеграла системы (6) поверхность имеет вид

$$\frac{2}{3}u^2 + v^2 + w^2 = \text{const}. \quad (11)$$

При движении по поверхности (11) изображающая точка описывает замкнутую кривую. Запишем систему (6) в общем виде (безразмерные величины здесь и далее приведены без черты сверху)

$$\frac{du}{dt} = Q(u, v, w), \quad \frac{dv}{dt} = S(u, v, w), \quad \frac{dw}{dt} = F(u, v, w). \quad (12)$$

При рассмотрении системы вида (8) получим условия четности и нечетности функций  $Q(u, v, w)$  и  $S(u, v, w)$  относительно  $u$

$$Q(-u, v, w) = Q(u, v, w), \quad S(-u, v, w) = -S(u, v, w), \quad (13)$$

условия четности и нечетности тех же функций относительно  $v$

$$S(u, -v, w) = S(u, v, w), \quad Q(u, -v, w) = -Q(u, v, w), \quad (14)$$

которые устанавливают тенденцию к замыканию проекций траектории на плоскости  $uv$  с осями симметрии  $v$  и  $u$ .

При рассмотрении системы вида (9) получим условия четности и нечетности функций  $S(u, v, w)$  и  $F(u, v, w)$  по отношению к  $v$

$$S(u, -v, w) = S(u, v, w), \quad F(u, -v, w) = -F(u, v, w), \quad (15)$$

условия четности и нечетности тех же функций относительно  $w$

$$F(u, v, -w) = F(u, v, w), \quad S(u, v, -w) = -S(u, v, w), \quad (16)$$

которые устанавливают тенденцию к замыканию проекций траектории на плоскости  $vw$  с осями симметрии  $w$  и  $v$ .

При рассмотрении системы вида (10) получим условия четности и нечетности функций  $Q(u, v, w)$  и  $F(u, v, w)$  по отношению к  $u$

$$Q(-u, v, w) = Q(u, v, w), \quad F(-u, v, w) = -F(u, v, w), \quad (17)$$

условия четности и нечетности тех же функций относительно  $w$

$$F(u, v, -w) = F(u, v, w), \quad Q(u, v, -w) = -Q(u, v, w), \quad (18)$$

которые устанавливают тенденцию к замыканию проекций траектории на плоскости  $uw$  с осями симметрии  $w$  и  $u$ .

Сформулируем принцип симметрии с привлечением неповторяющихся условий из приведенных (13)–(18) на правые части уравнений (12).

В системе (12) существует замкнутая траектория, если в функциях  $Q(u, v, w)$ ,  $S(u, v, w)$ ,  $F(u, v, w)$  выполняются следующие условия четности:

$$Q(-u, v, w) = Q(u, v, w), \quad S(u, -v, w) = S(u, v, w), \quad F(u, v, -w) = F(u, v, w)$$

и нечетности

$$\begin{aligned} Q(u, -v, w) &= -Q(u, v, w), & Q(u, v, -w) &= -Q(u, v, w), & S(-u, v, w) &= -S(u, v, w); \\ S(u, v, -w) &= -S(u, v, w), & F(-u, v, w) &= -F(u, v, w), & F(u, -v, w) &= -F(u, v, w) \end{aligned}$$

относительно переменных  $u$ ,  $v$ ,  $w$ .

Для замыкания траекторий на плоскости необходимо одно условие четности и нечетности, например (2) или (3). Поэтому количество условий можно уменьшить. Сформулируем принцип симметрии, уменьшая количество условий из приведенных (13)–(18). Остаются

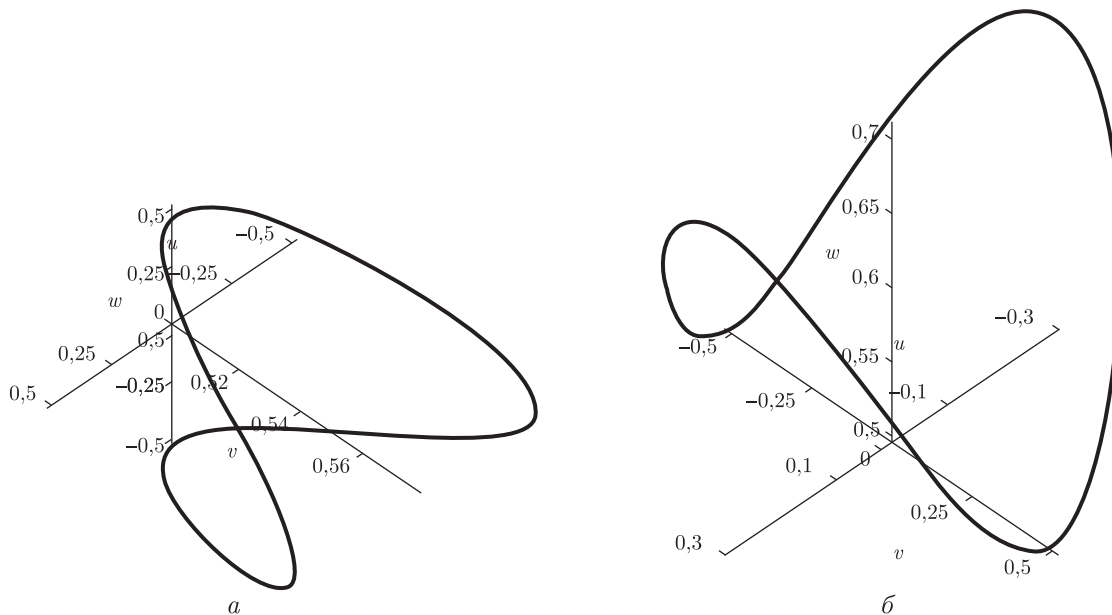


Рис. 1

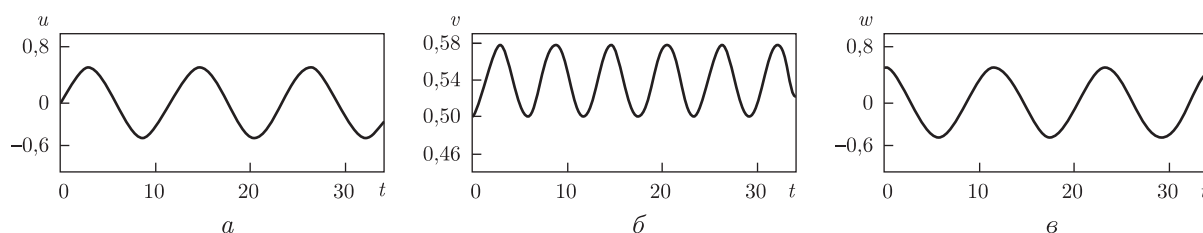


Рис. 2

условия (14) (ось симметрии  $u$ ), условия (16) (ось симметрии  $v$ ), условия (17) (ось симметрии  $w$ ).

В системе (12) существует замкнутая траектория, если в функциях  $Q(u, v, w)$ ,  $S(u, v, w)$ ,  $F(u, v, w)$  выполняются следующие условия четности:

$$Q(-u, v, w) = Q(u, v, w), \quad S(u, -v, w) = S(u, v, w), \quad F(u, v, -w) = F(u, v, w) \quad (19)$$

и нечетности

$$Q(u, -v, w) = -Q(u, v, w), \quad S(u, v, -w) = -S(u, v, w), \quad F(-u, v, w) = -F(u, v, w) \quad (20)$$

относительно переменных  $u, v, w$ .

На рис. 1, а изображена замкнутая кривая, удовлетворяющая неравенству (5) и условиям (19), (20). На рис. 2, а, б, в приведены временные реализации по координатам  $u, v, w$ . Начальные условия следующие:

$$v(0) = 0,5; \quad w(0) = 0,5; \quad u(0) = 0. \quad (21)$$

Неустойчивость вращений в окрестности средней оси эллипсоида инерции проявляется как увеличение отклонения от нуля (рис. 2, б) при сохранении устойчивости орбиты.

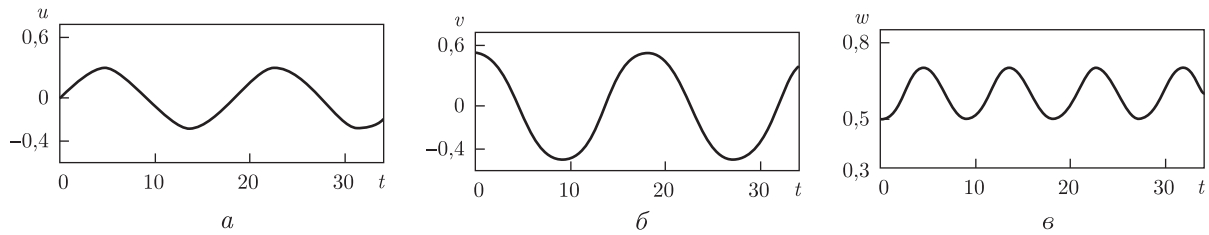


Рис. 3

**О бифуркациях в системе (6).** Введем малые отклонения  $\delta u$ ,  $\delta v$ ,  $\delta w$  в системе (6) от частных решений  $\hat{u}$ ,  $\hat{v}$ ,  $\hat{w}$  и составим уравнения в вариациях

$$\frac{d\delta u}{dt} = \hat{w}\delta v + \hat{v}\delta w, \quad \frac{d\delta v}{dt} = \frac{1}{3}(\hat{w}\delta u + \hat{u}\delta w), \quad \frac{d\delta w}{dt} = -(\hat{v}\delta u + \hat{u}\delta v).$$

Характеристическое уравнение, соответствующее системе в вариациях, имеет вид

$$\lambda^3 + \lambda \left( \frac{\hat{u}^2}{3} + \hat{v}^2 - \frac{\hat{w}^2}{3} \right) + \frac{2}{3}\hat{u}\hat{v}\hat{w} = 0.$$

Запишем характеристические показатели точек на следующих плоскостях:  $uv$ ,  $uw$ ,  $vw$  соответственно

$$\lambda_{1,2} = \pm \sqrt{-\hat{v}^2 - \frac{\hat{u}^2}{3}}, \quad \lambda_3 = 0; \quad \lambda_{1,2} = \pm \sqrt{-\frac{\hat{u}^2}{3} + \frac{\hat{w}^2}{3}}, \quad \lambda_3 = 0;$$

$$\lambda_{1,2} = \pm \sqrt{\frac{\hat{w}^2}{3} - \frac{\hat{v}^2}{3}}, \quad \lambda_3 = 0.$$

На плоскости  $uv$  все точки имеют эллиптический характер. На плоскостях  $uw$ ,  $vw$  можно построить сепаратрису, которая разделяет эллиптические и седловые точки. Геометрическая симметрия может быть тождественна симметрии ХПЛ точек на траектории [3]. Для трехмерной консервативной системы, имеющей симметрию проекций на трех плоскостях, сигнатура спектра ХПЛ траектории имеет вид  $(0, 0, 0)$ . Так как траектория замкнута, то неустойчивость по Четаеву (см. [1]) не сопровождается потерей орбитальной устойчивости [4].

*Об устойчивом вращении вокруг наибольшей полуоси эллипсоида инерции.* В [1] установлена устойчивость движения вокруг наибольшей полуоси инерции. Пусть эллипсоид инерции удовлетворяет неравенству

$$J_x > J_y > J_z. \quad (22)$$

Учитывая условие (22) и полагая, что  $J_x = 3J$ ,  $J_y = 2J$ ,  $J_z = J$ , запишем систему (4) так:

$$\frac{du}{dt} = \frac{vw}{3}, \quad \frac{dv}{dt} = -uw, \quad \frac{dw}{dt} = uv, \quad (23)$$

где  $u = \omega_x$ ,  $v = \omega_y$ ,  $w = \omega_z$ .

Уравнения (23) представлены системой (12). Для системы (12), согласно принципу симметрии, существует замкнутая траектория в трехмерном пространстве. На рис. 1, б изображена замкнутая устойчивая кривая, удовлетворяющая неравенству (22). На рис. 3, а, б,

в приведены временные реализации по координатам  $u$ ,  $v$ ,  $w$  системы (23) при начальных условиях (21).

*Физический результат такой: если траектория имеет тенденцию замыкания на каждой плоскости, то существует траектория, замкнутая в трехмерном пространстве.*

1. Четаев Н. Г. Устойчивость движения. – Москва: Наука, 1990. – 176 с.
2. Nemytskii V. V., Stepanov V. V. Qualitative theory of differential equations. – Princeton: Princeton Univ. Press, 1960. – 550 p.
3. Никитина Н. В. Нелинейные системы со сложным и хаотическим поведением траекторий. – Киев: Феникс, 2012. – 235 с.
4. Leonov G. A. Strange attractors and classical stability theory. – St.-Petersburg: St.-Petersburg Univ. Press, 2008. – 160 p.

*Институт механики им. С. П. Тимошенко  
НАН Украины, Киев*

*Поступило в редакцию 16.01.2013*

**Н. В. Нікітіна**

### **Про умови замикання траєкторії у тривимірному просторі**

*Встановлено умови існування замкненої траєкторії в системі, заданій у тривимірному просторі. Розглянуто консервативну систему.*

**N. V. Nikitina**

### **On the closing conditions of a trajectory in the three-dimensional space**

*The conditions of existence of a closed trajectory in the three-dimensional space are obtained. A conservative system is considered.*